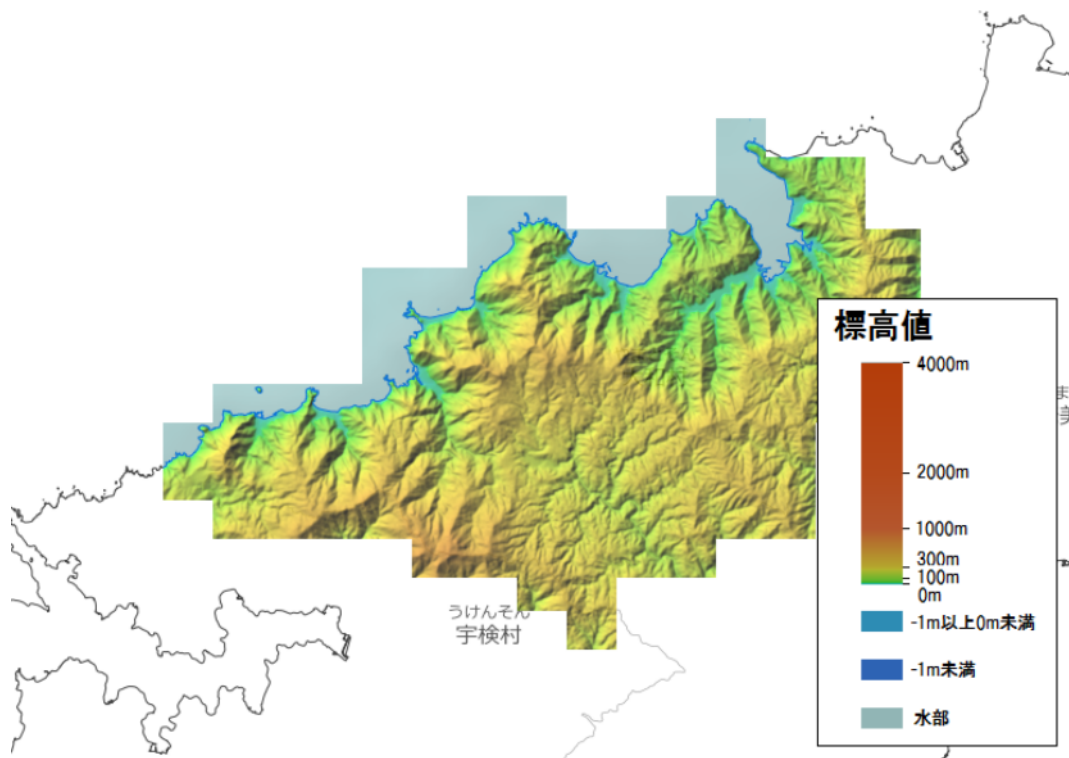


大和村



地形図 (大和村)

(出典)

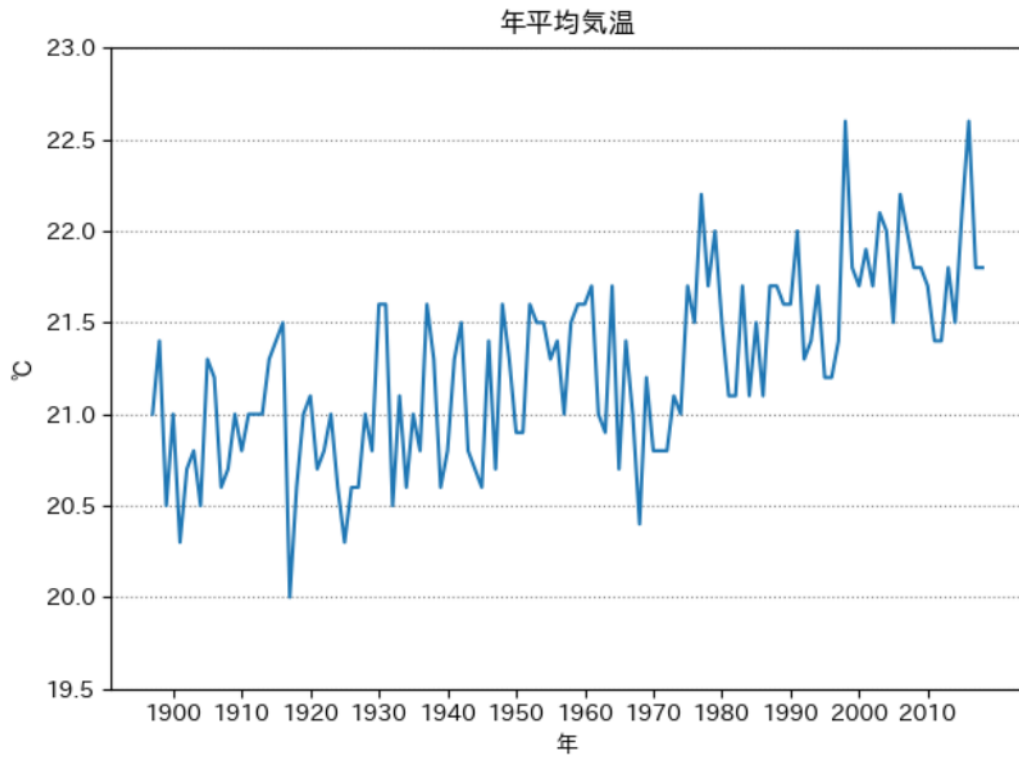
<https://maps.gsi.go.jp/development/ichiran.html#relief>

これまでの大和村の気候の変化

1.1.1 気温

(1) 年平均気温・最低気温・最高気温

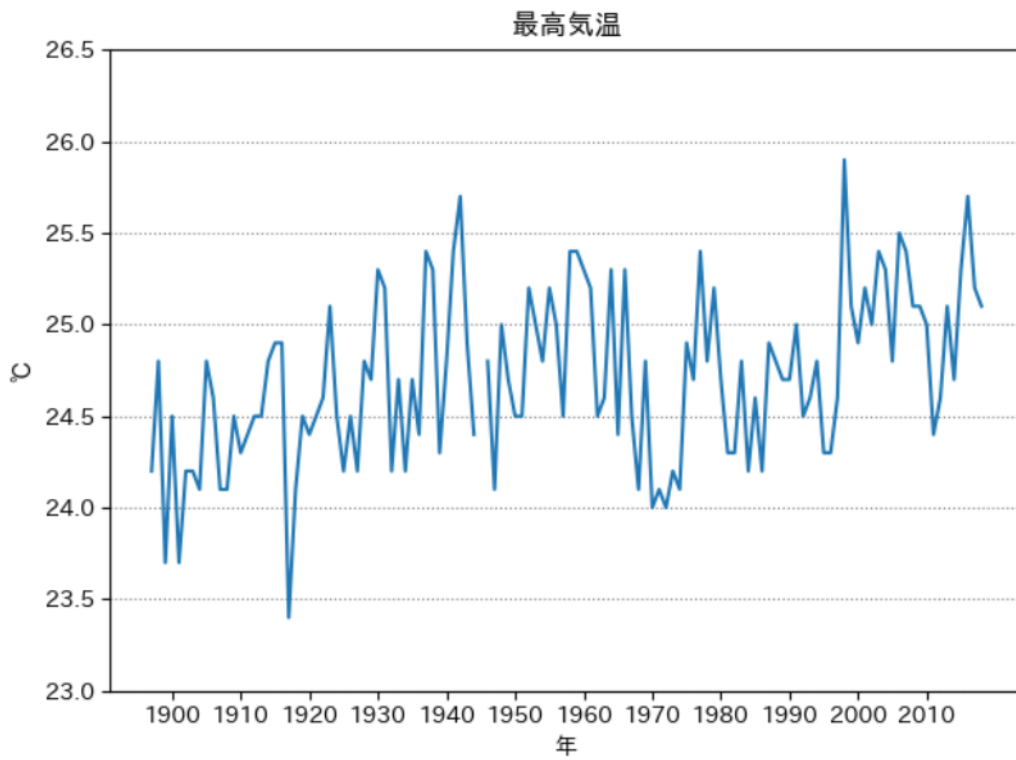
大和村の年平均、最低、最高気温は短期的な変動を繰り返しながら上昇しており、長期的には年平均気温において、100年あたり約0.9℃の割合で上昇しています。



年平均気温の推移 (名瀬)

(出典)

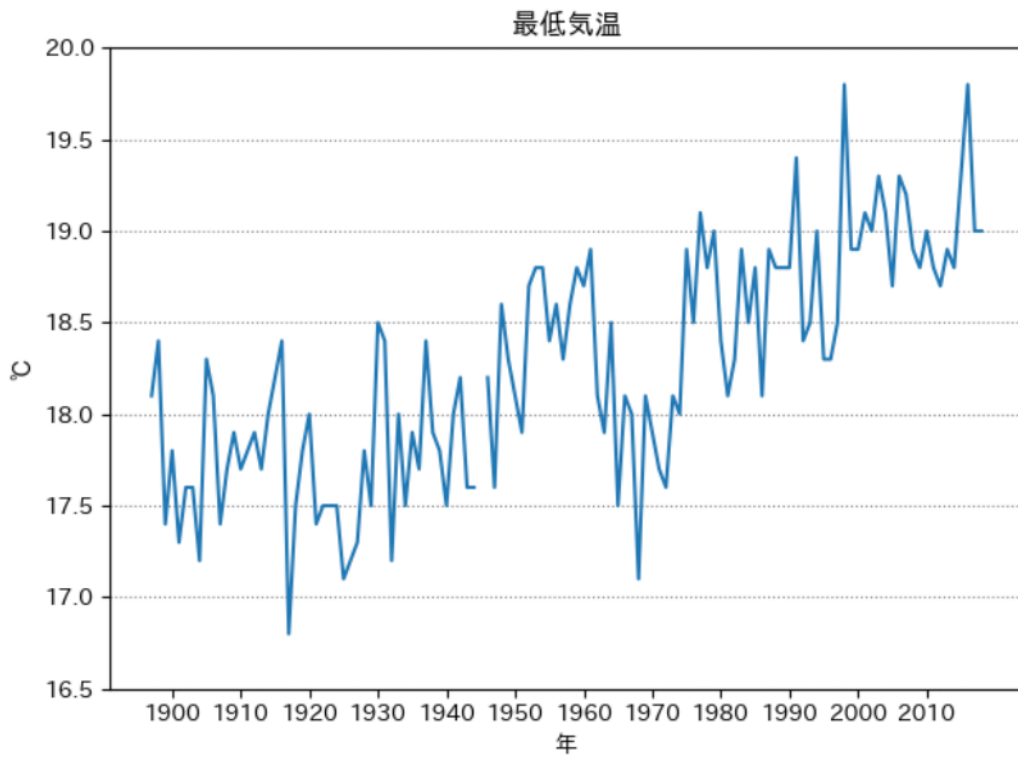
国立環境研究所による気象庁提供「過去の気象データ」の解析結果をもとに作成



日最高気温の年平均の推移 (名瀬)

(出典)

国立環境研究所による気象庁提供「過去の気象データ」の解析結果をもとに作成



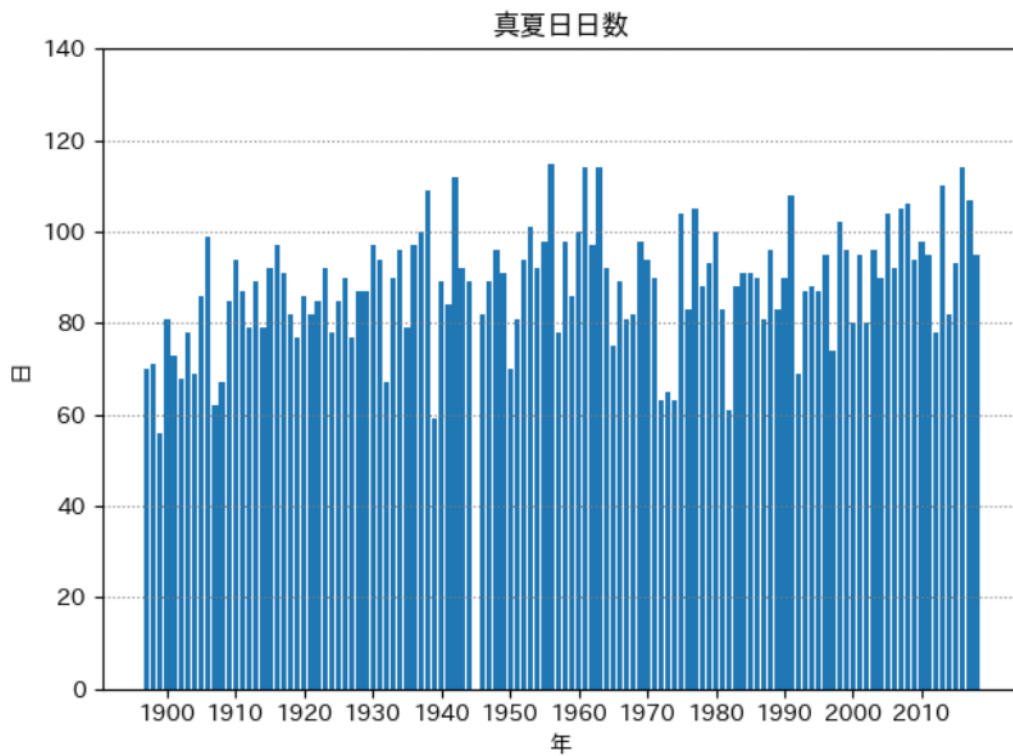
日最低気温の年平均の推移 (名瀬)

(出典)

国立環境研究所による気象庁提供「過去の気象データ」の解析結果をもとに作成

真夏日・猛暑日、冬日・真冬日

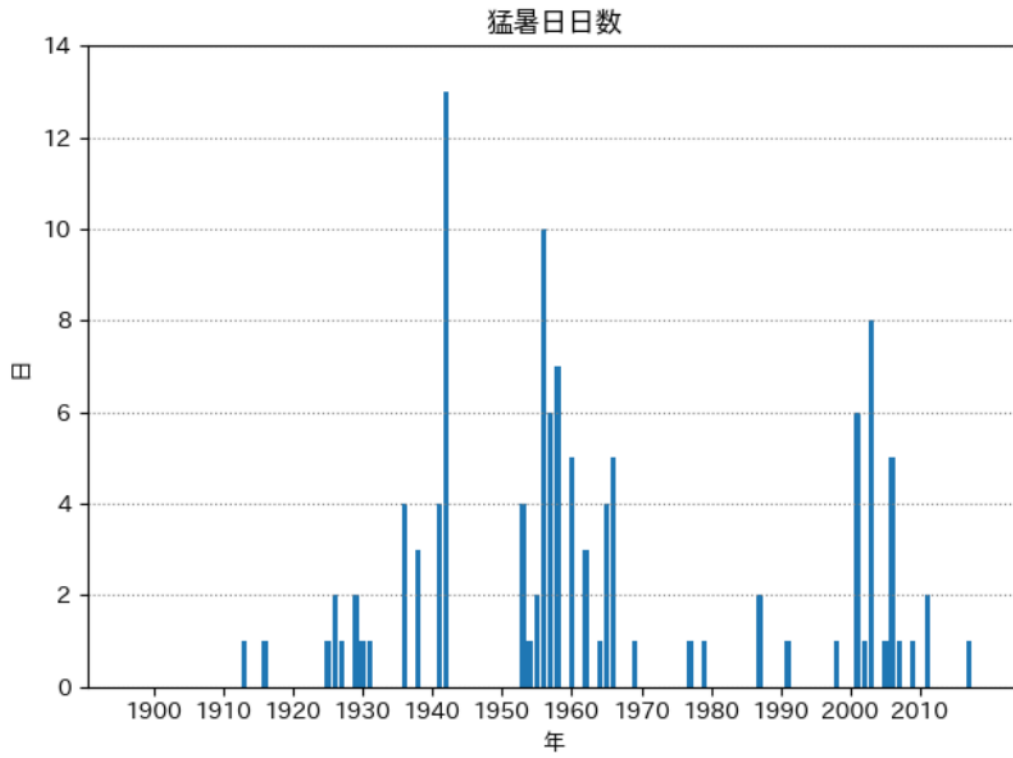
真夏日（日最高気温が30℃以上）の年間日数については、100年あたり約12.4日の割合で上昇しています。
猛暑日（日最高気温が35℃以上）の年間日数については、100年あたり約0.5日の割合で上昇しています。



真夏日日数の推移 (名瀬)

(出典)

国立環境研究所による気象庁提供「過去の気象データ」の解析結果をもとに作成

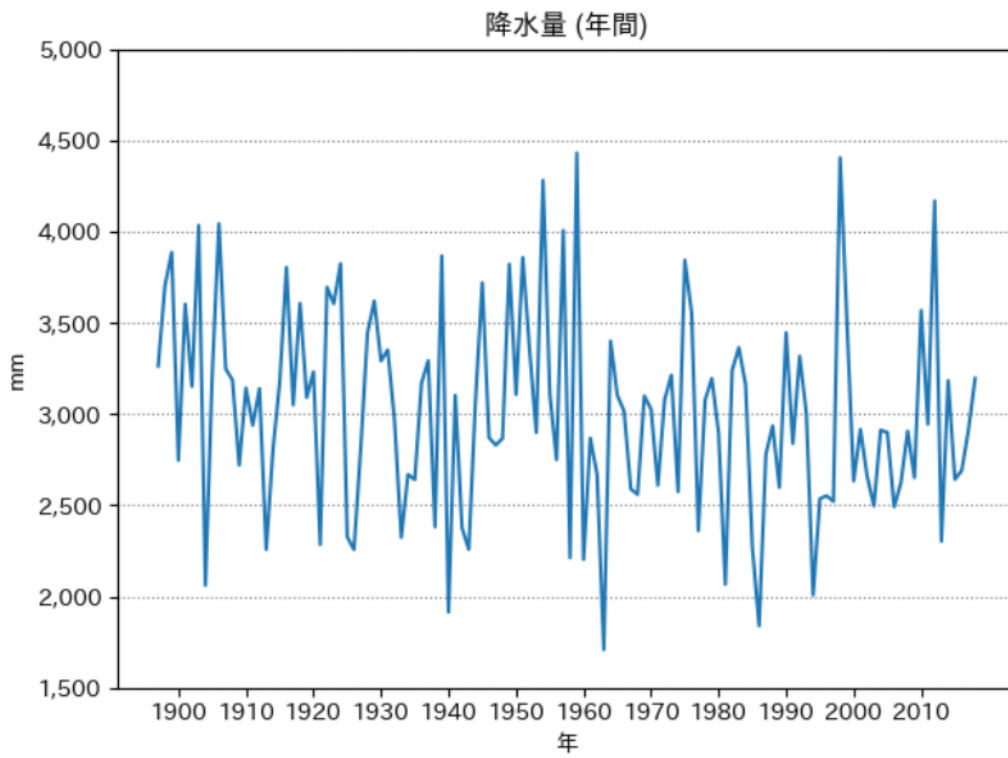


猛暑日日数の推移 (名瀬)

(出典)

国立環境研究所による気象庁提供「過去の気象データ」の解析結果をもとに作成

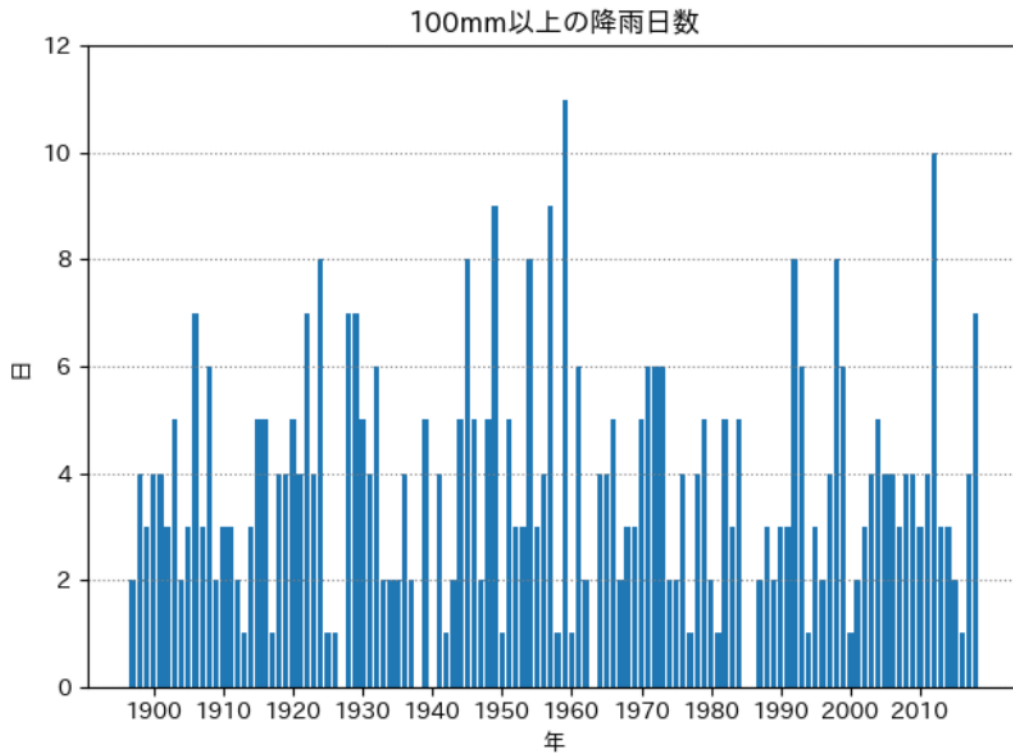
降水、降雪



年間降水量の推移 (名瀬)

(出典)

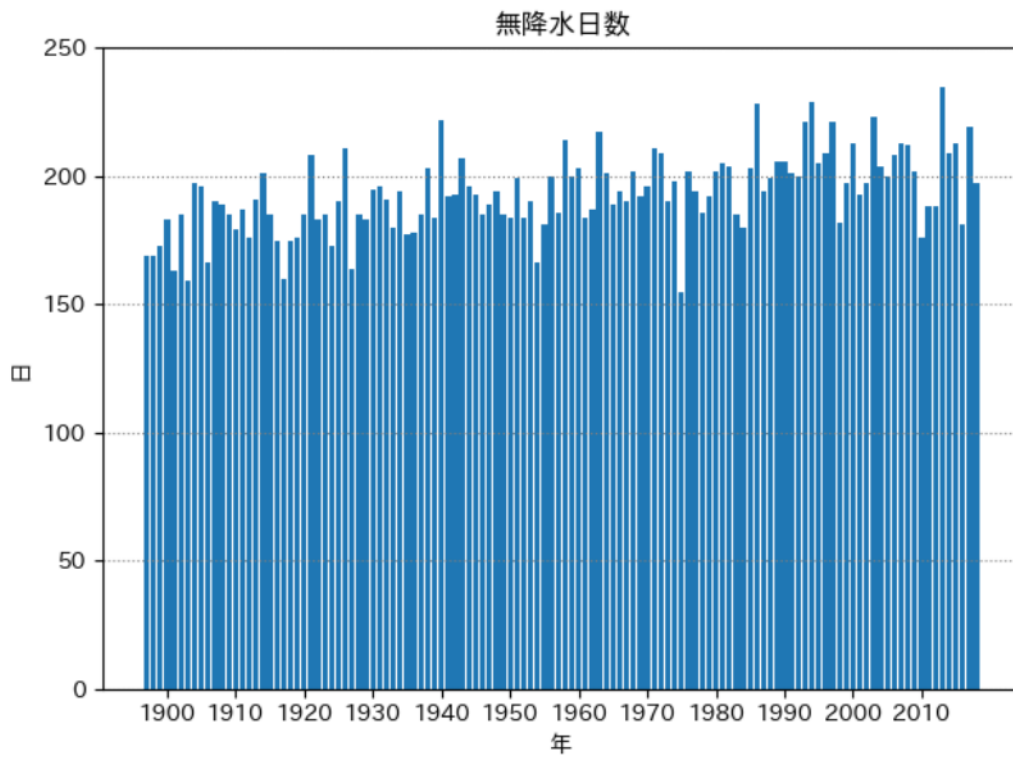
国立環境研究所による気象庁提供「過去の気象データ」の解析結果をもとに作成



100mm以上の降雨日数の推移 (名瀬)

(出典)

国立環境研究所による気象庁提供「過去の気象データ」の解析結果をもとに作成



年間無降水日数の推移（名瀬）

(出典)

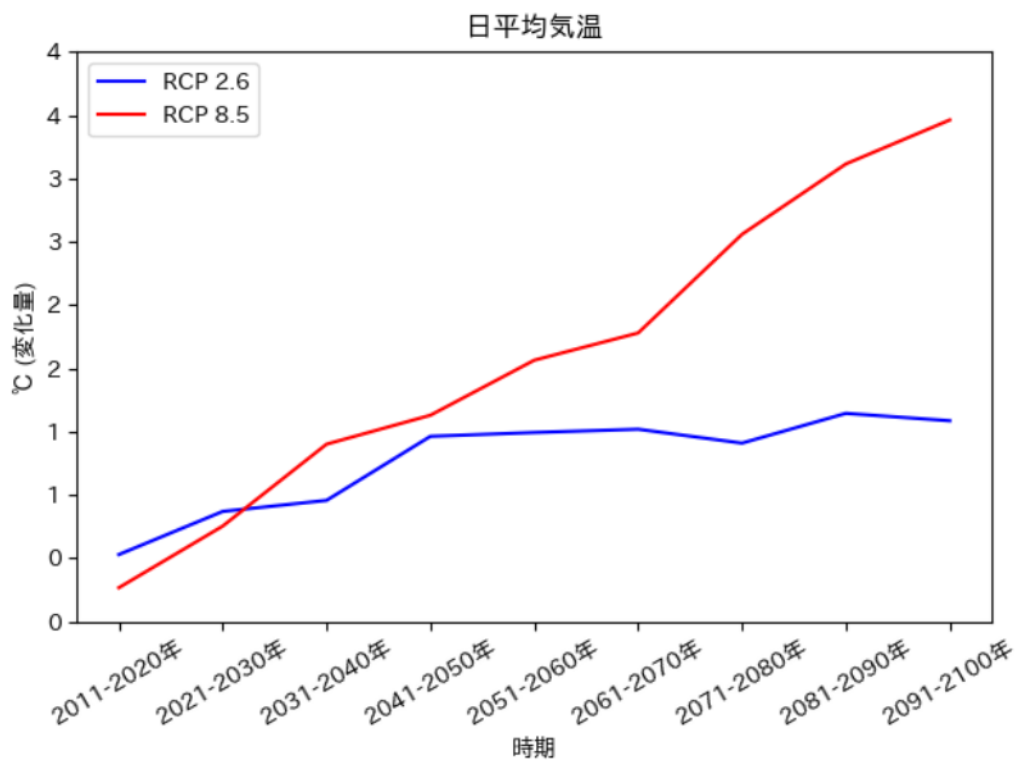
国立環境研究所による気象庁提供「過去の気象データ」の解析結果をもとに作成

将来の大和村の気候・気象の変化

気温

(1) 年平均気温

大和村では、厳しい温暖化対策をとらない場合(RCP8.5シナリオ)、21世紀末(2081年～2100年)には現在(1981年～2000年)よりも年平均気温が約4.0℃高くなると予測されています。パリ協定の「2℃目標」が達成された状況下であり得るシナリオ(RCP2.6シナリオ)では、21世紀末(2081年～2100年)には現在(1981年～2000年)よりも年平均気温が約1.6℃高くなると予測されています。



日平均気温の推移予測 (大和村)

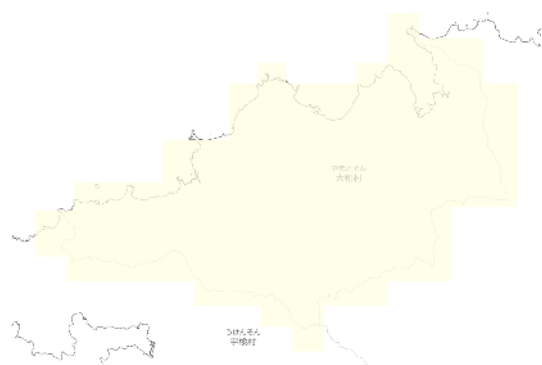
(出典)

以下を基にした A-PLAT WebGISデータ

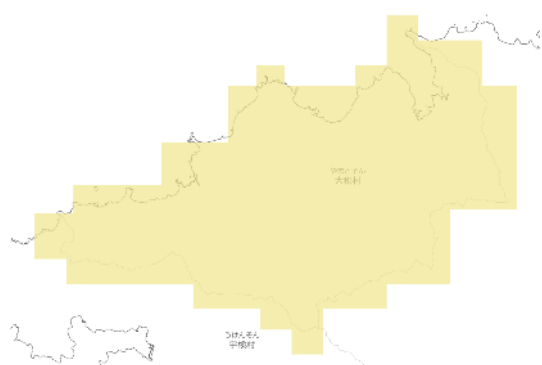
石崎 紀子 (2020). CMIP5 をベースにした CDFDM 手法による日本域バイアス補正気候シナリオデータ, Ver.201909, 国立環境研究所 地球環境研究センター, doi:10.17595/20200415.001.



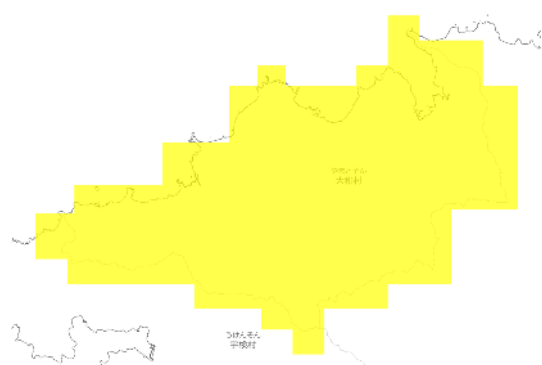
RCP 2.6 2011-2020年



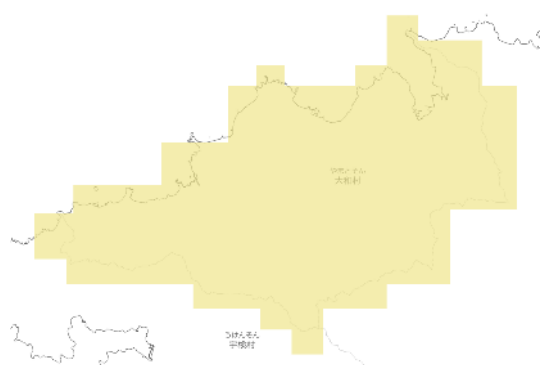
RCP 8.5 2011-2020年



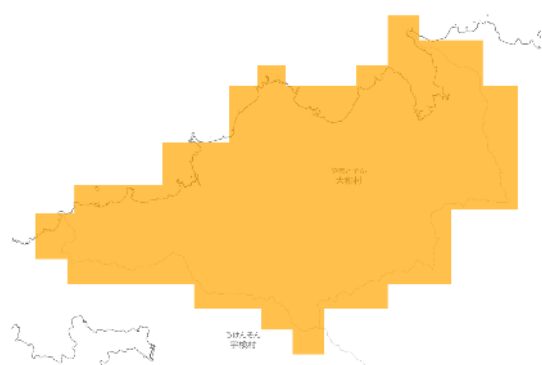
RCP 2.6 2051-2060年



RCP 8.5 2051-2060年



RCP 2.6 2091-2100年



RCP 8.5 2091-2100年

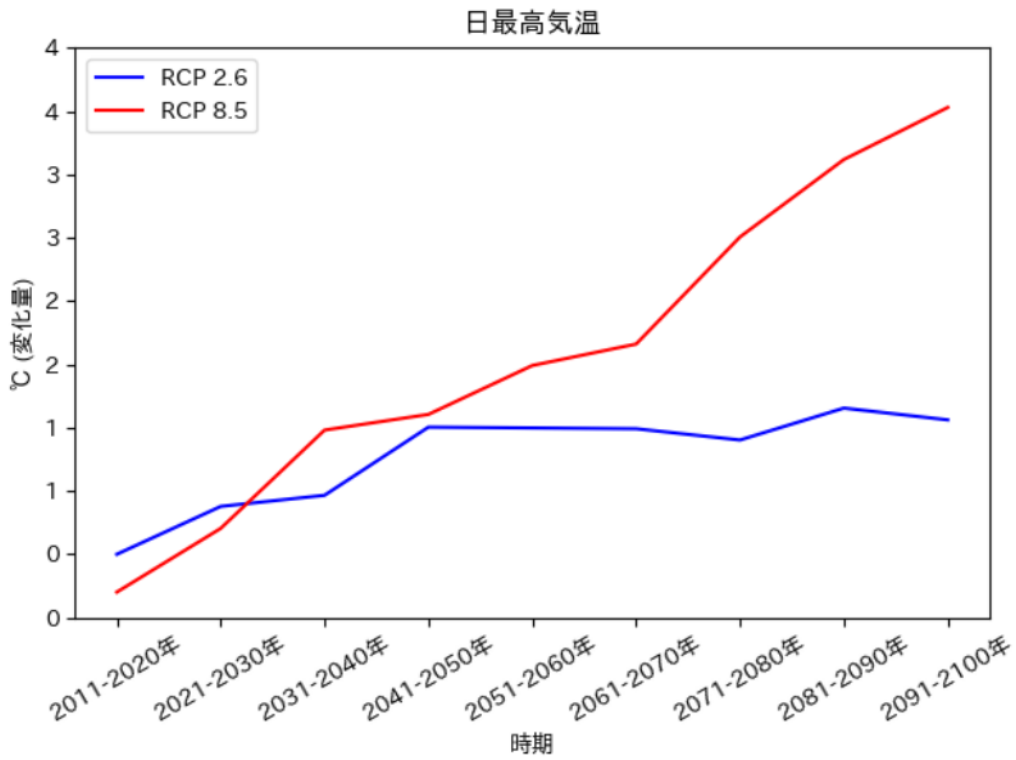
日平均気温 基準期間との差



(出典)

以下を基にした A-PLAT WebGISデータ

石崎 紀子 (2020). CMIP5 をベースにした CDFDM 手法による日本域バイアス補正気候シナリオデータ, Ver.201909, 国立環境研究所 地球環境研究センター, doi:10.17595/20200415.001.



日最高気温の推移予測 (大和村)

(出典)

以下を基にした A-PLAT WebGISデータ

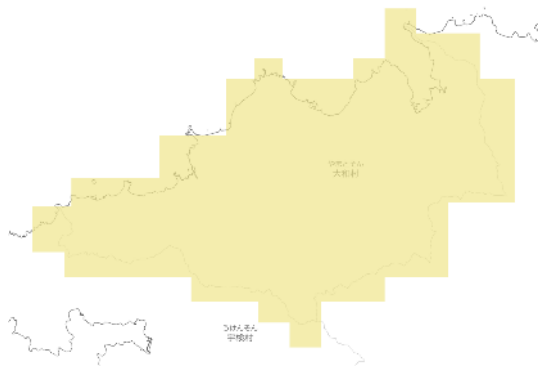
石崎 紀子 (2020). CMIP5 をベースにした CDFDM 手法による日本域バイアス補正気候シナリオデータ, Ver.201909, 国立環境研究所 地球環境研究センター, doi:10.17595/20200415.001.



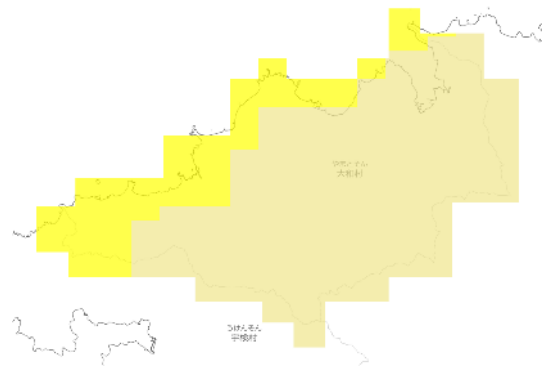
RCP 2.6 2011-2020年



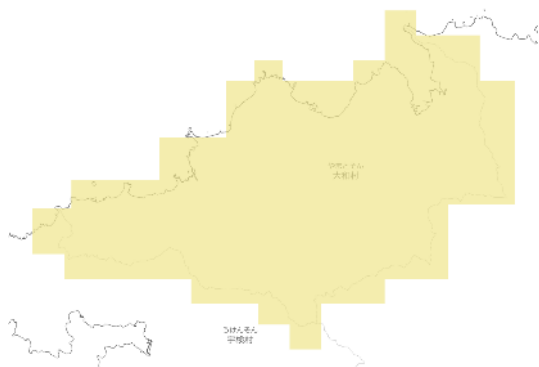
RCP 8.5 2011-2020年



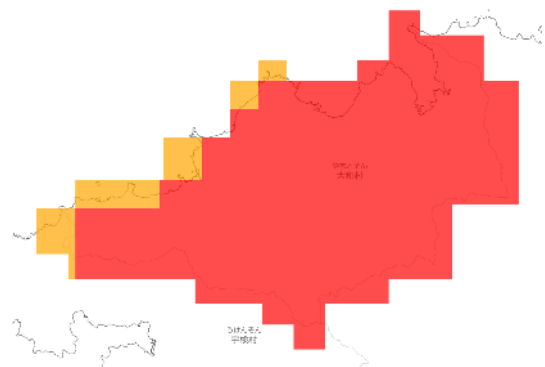
RCP 2.6 2051-2060年



RCP 8.5 2051-2060年



RCP 2.6 2091-2100年



RCP 8.5 2091-2100年

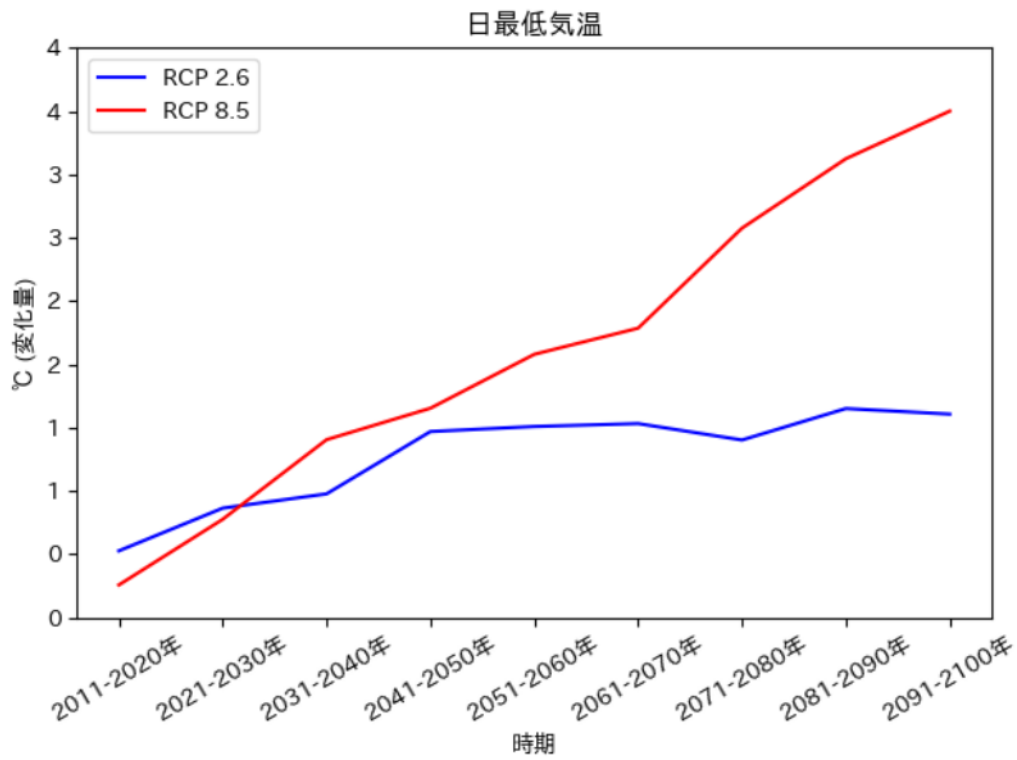
日最高気温 基準期間との差



(出典)

以下を基にした A-PLAT WebGISデータ

石崎 紀子 (2020). CMIP5 をベースにした CDFDM 手法による日本域バイアス補正気候シナリオデータ, Ver.201909, 国立環境研究所 地球環境研究センター, doi:10.17595/20200415.001.

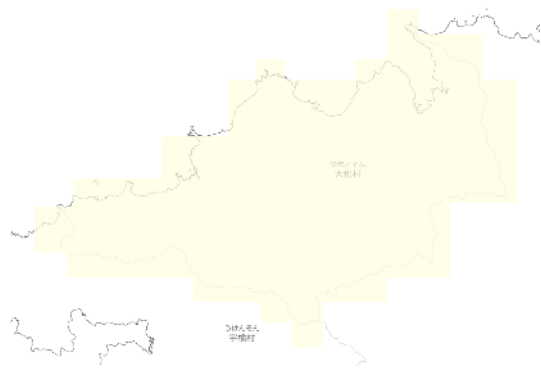


日最低気温の推移予測 (大和村)

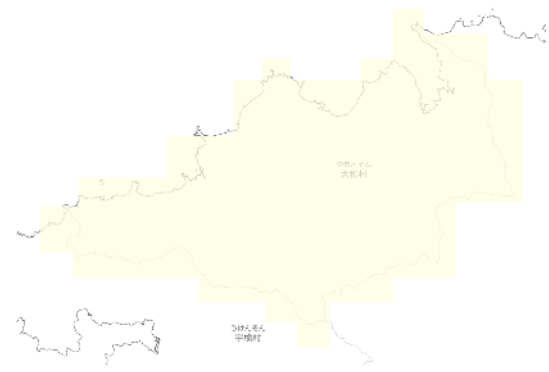
(出典)

以下を基にした A-PLAT WebGISデータ

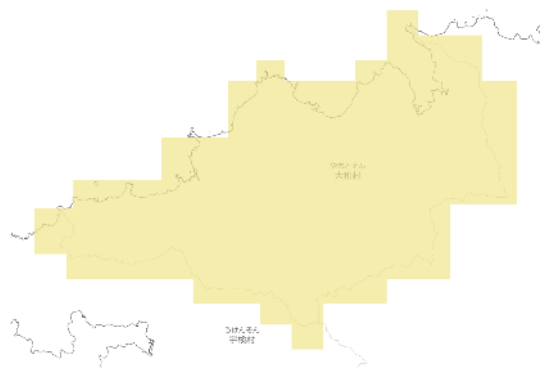
石崎 紀子 (2020). CMIP5 をベースにした CDFDM 手法による日本域バイアス補正気候シナリオデータ, Ver.201909, 国立環境研究所 地球環境研究センター, doi:10.17595/20200415.001.



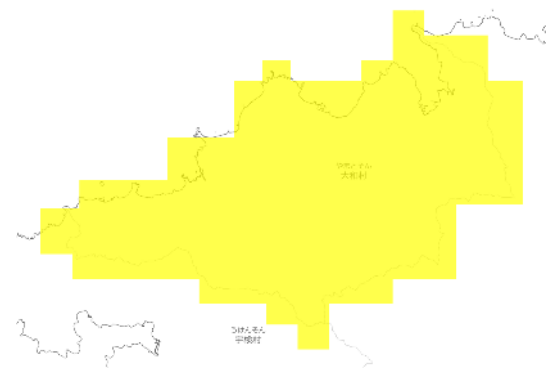
RCP 2.6 2011-2020年



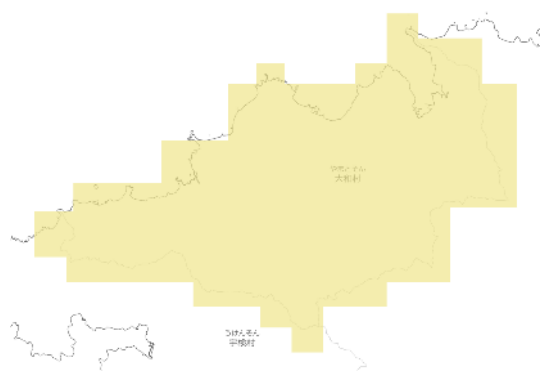
RCP 8.5 2011-2020年



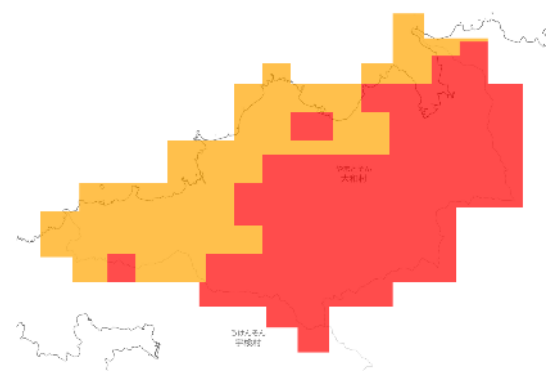
RCP 2.6 2051-2060年



RCP 8.5 2051-2060年



RCP 2.6 2091-2100年



RCP 8.5 2091-2100年

日最低気温 基準期間との差

図 26 日最低気温 基準期間との差 凡例

(出典)

以下を基にした A-PLAT WebGISデータ

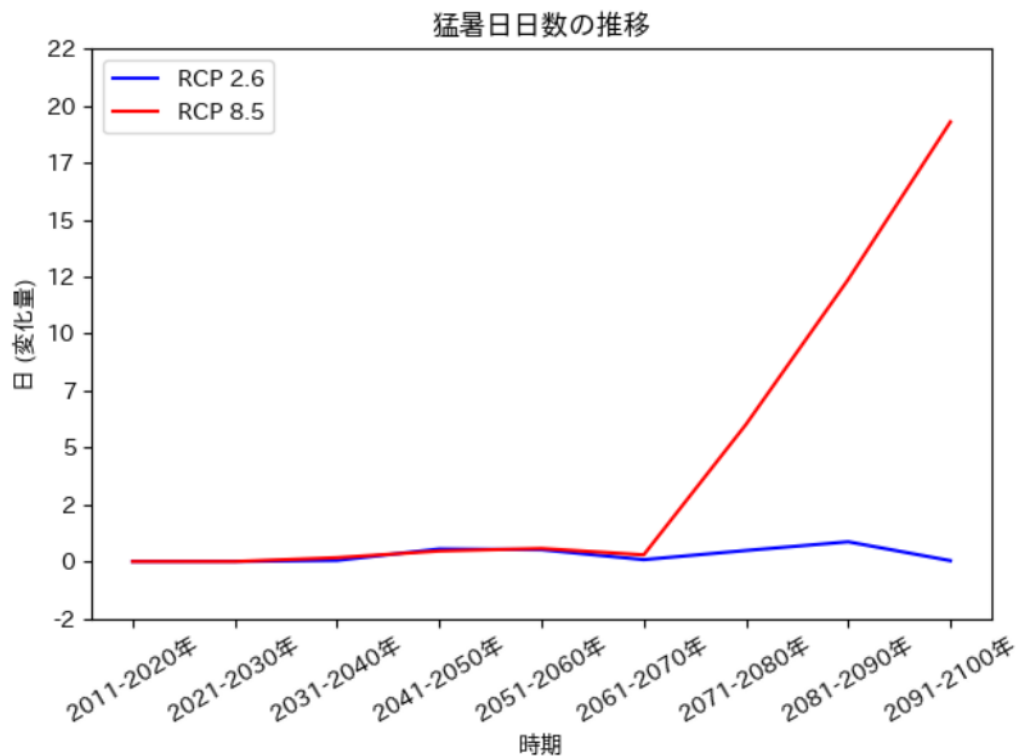
石崎 紀子 (2020). CMIP5 をベースにした CDFDM 手法による日本域バイアス補正気候シナリオデータ, Ver.201909, 国立環境研究所 地球環境研究センター, doi:10.17595/20200415.001.



真夏日・猛暑日、冬日・真冬日

大和村では、厳しい温暖化対策をとらない場合(RCP8.5シナリオ)、基準年(1981～2000年の平均)と比べ猛暑日が100年間で年間約16日増加、真夏日が約80日増加すると予測されています。パリ協定の「2℃目標」が達成された状況下であり得るシナリオ(RCP2.6シナリオ)では、猛暑日が100年間で年間ほぼ変化しない、真夏日が約32日増加すると予測されています。

※ 100年後の値は2081～2090、2091～2100年の平均を用いています。

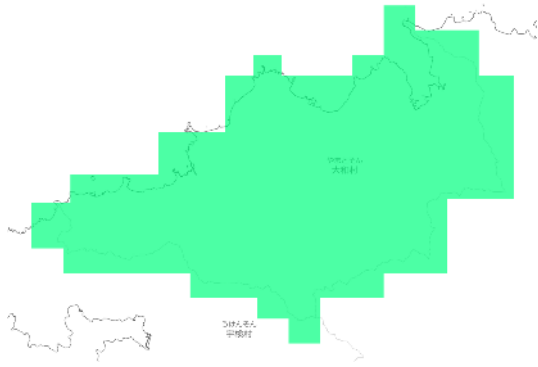


猛暑日の推移予測 (大和村)

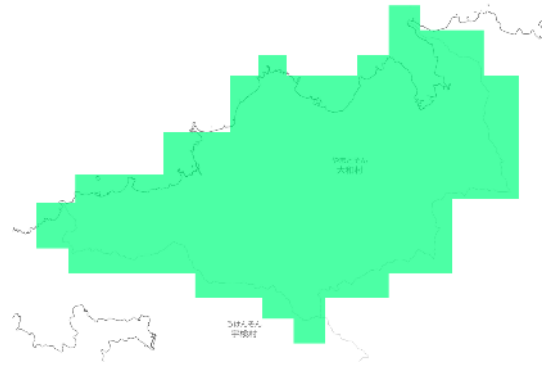
(出典)

以下を基にした A-PLAT WebGISデータ

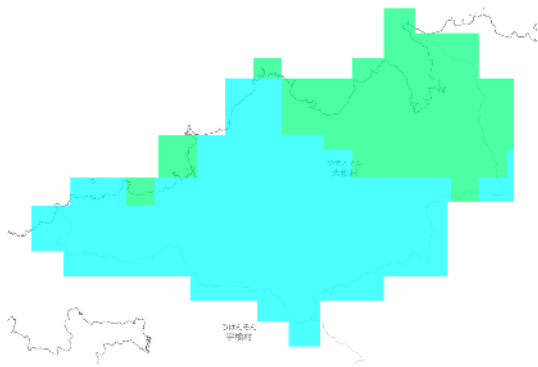
石崎 紀子 (2020). CMIP5 をベースにした CDFDM 手法による日本域バイアス補正気候シナリオデータ, Ver.201909, 国立環境研究所 地球環境研究センター, doi:10.17595/20200415.001.



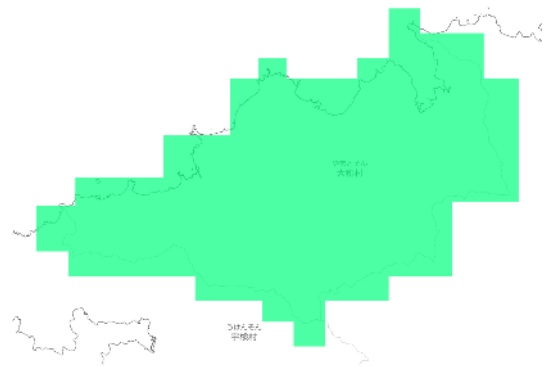
RCP 2.6 2011-2020年



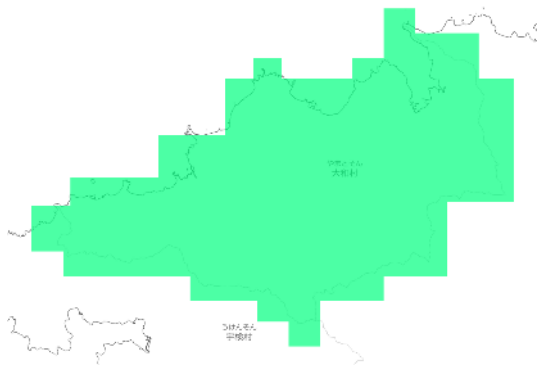
RCP 8.5 2011-2020年



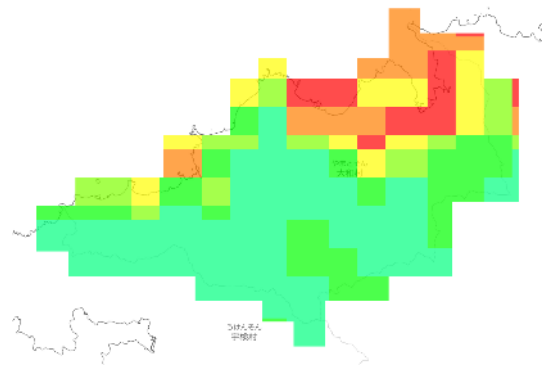
RCP 2.6 2051-2060年



RCP 8.5 2051-2060年

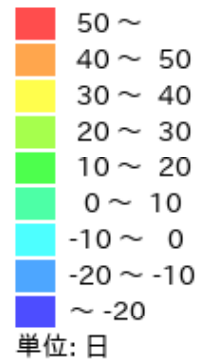


RCP 2.6 2091-2100年



RCP 8.5 2091-2100年

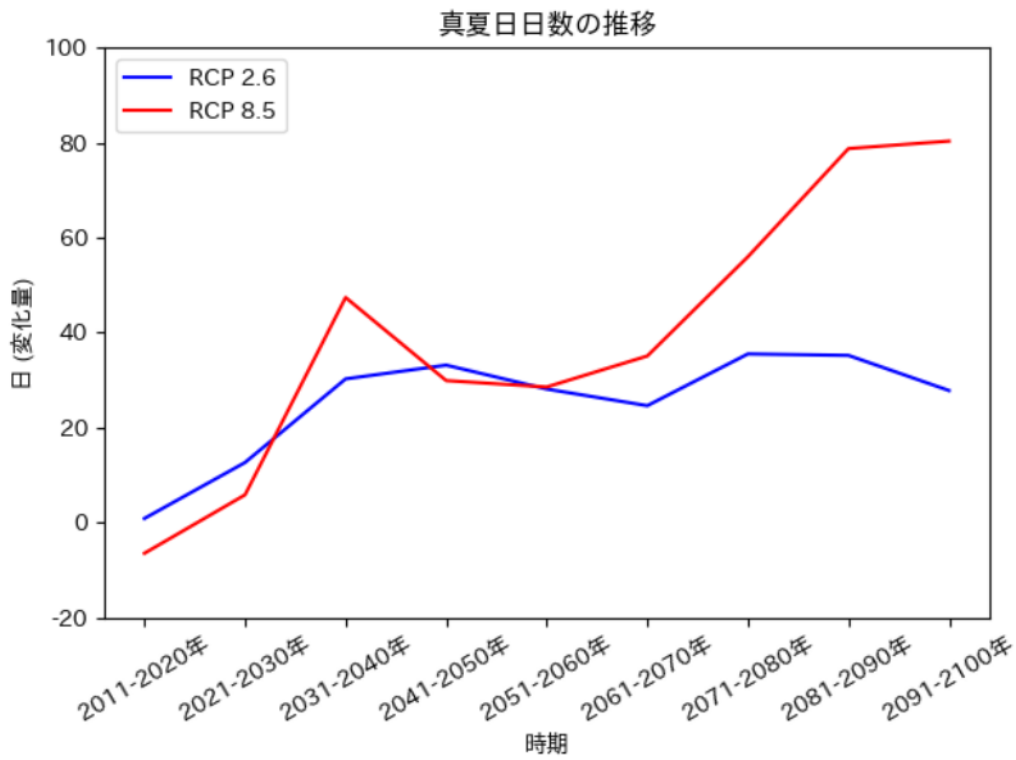
猛暑日 基準期間との差



(出典)

以下を基にした A-PLAT WebGISデータ

石崎 紀子 (2020). CMIP5 をベースにした CDFDM 手法による日本域バイアス補正気候シナリオデータ, Ver.201909, 国立環境研究所 地球環境研究センター, doi:10.17595/20200415.001.

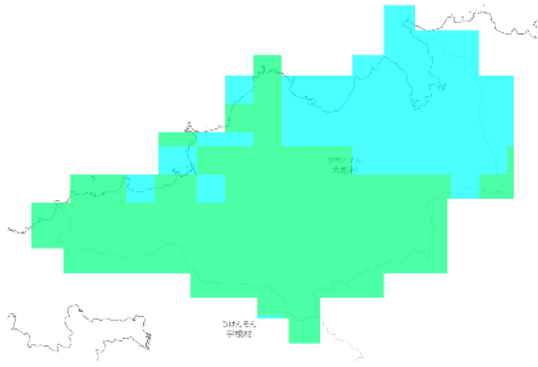


真夏日の推移予測 (大和村)

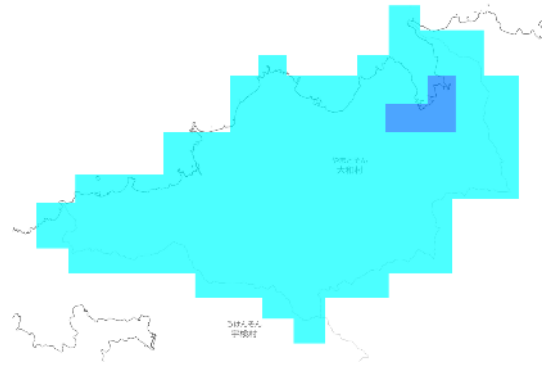
(出典)

以下を基にした A-PLAT WebGISデータ

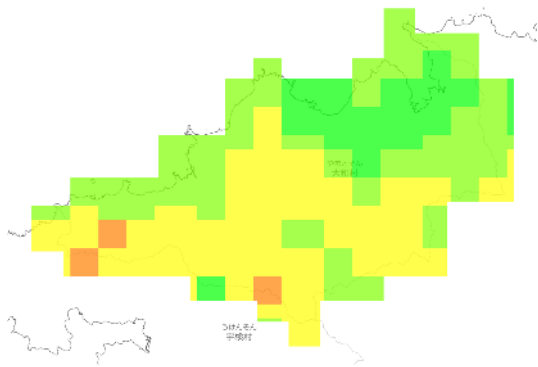
石崎 紀子 (2020). CMIP5 をベースにした CDFDM 手法による日本域バイアス補正気候シナリオデータ, Ver.201909, 国立環境研究所 地球環境研究センター, doi:10.17595/20200415.001.



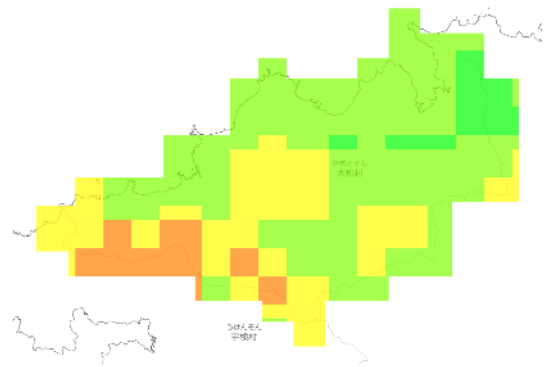
RCP 2.6 2011-2020年



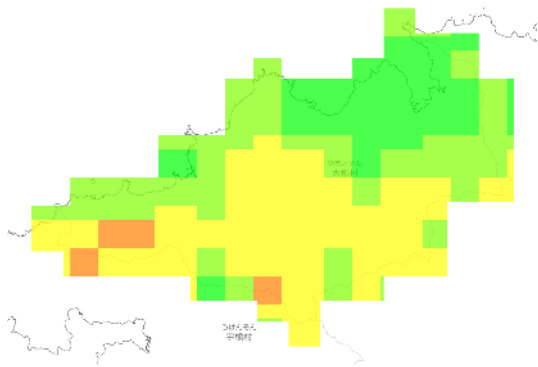
RCP 8.5 2011-2020年



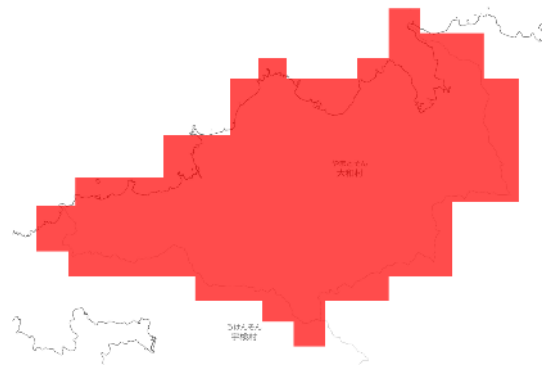
RCP 2.6 2051-2060年



RCP 8.5 2051-2060年



RCP 2.6 2091-2100年



RCP 8.5 2091-2100年

真夏日 基準期間との差



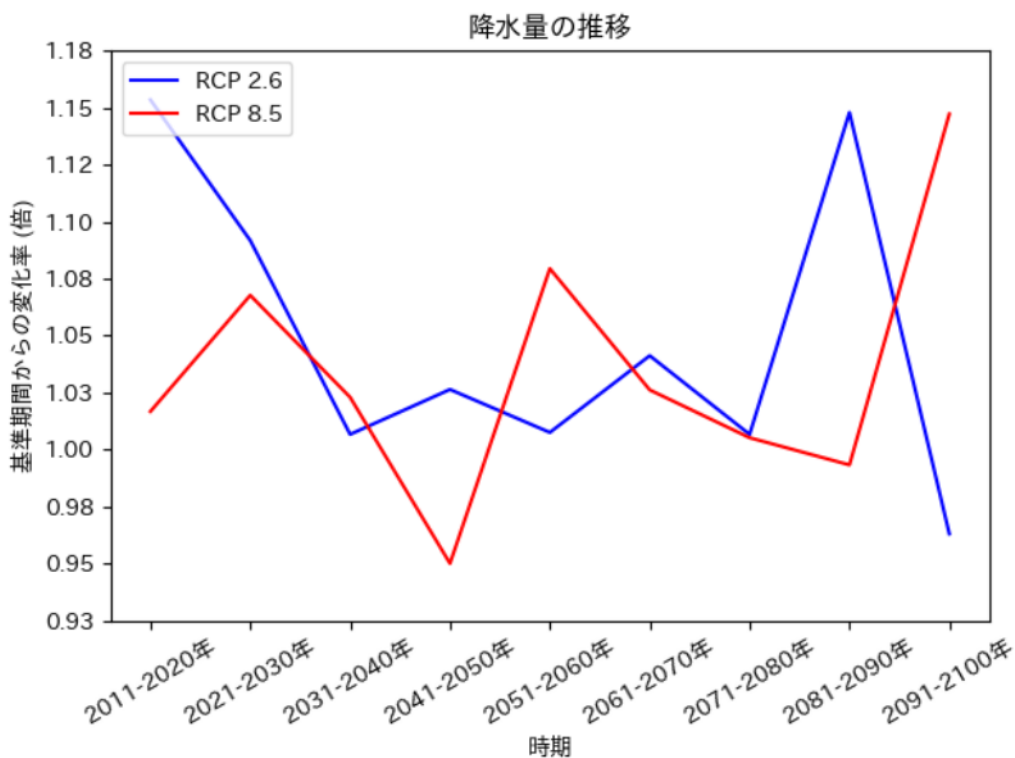
(出典)

以下を基にした A-PLAT WebGISデータ

石崎 紀子 (2020). CMIP5 をベースにした CDFDM 手法による日本域バイアス補正気候シナリオデータ, Ver.201909, 国立環境研究所 地球環境研究センター, doi:10.17595/20200415.001.

降水、降雪

大和村では、厳しい温暖化対策をとらない場合(RCP8.5シナリオ)、21世紀末(2081年~2100年)には現在(1981年~2000年)よりも降水量が年間約15%増加、無降水日数が約1日減少すると予測されています。また、降雪量はほぼ変化しないと予測されています。パリ協定の「2℃目標」が達成された状況下であり得るシナリオ(RCP2.6シナリオ)では、降水量は約4%減少、無降水日数は約6日増加すると予測されています。また、降雪量はほぼ変化しないと予測されています。

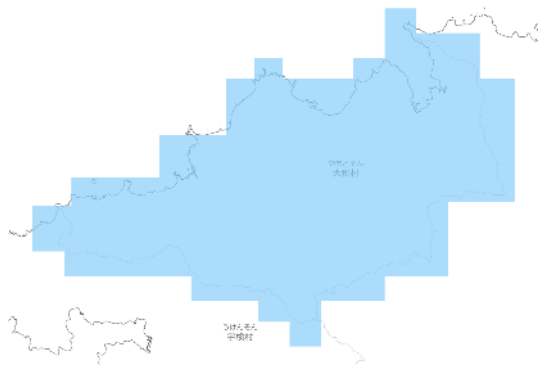


降水量の推移予測 (大和村)

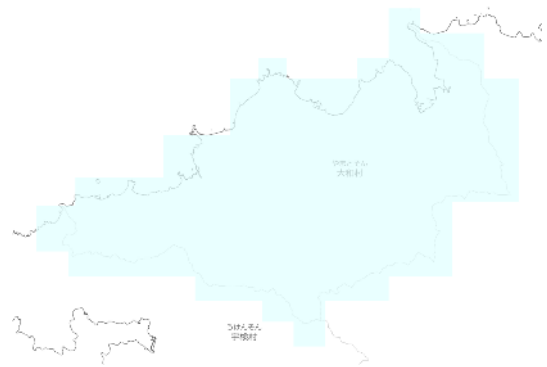
(出典)

以下を基にした A-PLAT WebGISデータ

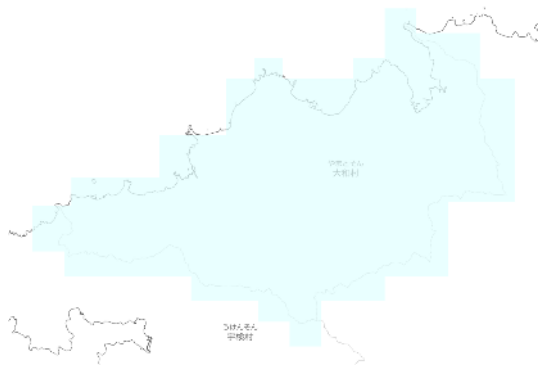
石崎 紀子 (2020). CMIP5 をベースにした CDFDM 手法による日本域バイアス補正気候シナリオデータ, Ver.201909, 国立環境研究所 地球環境研究センター, doi:10.17595/20200415.001.



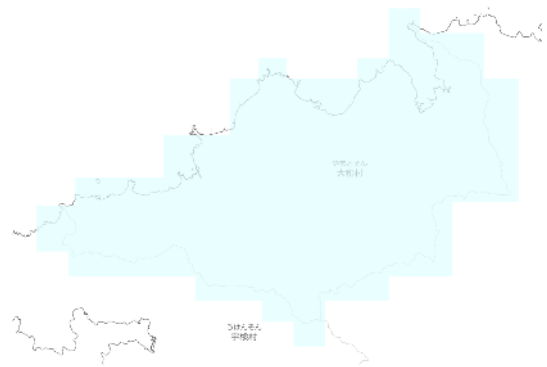
RCP 2.6 2011-2020年



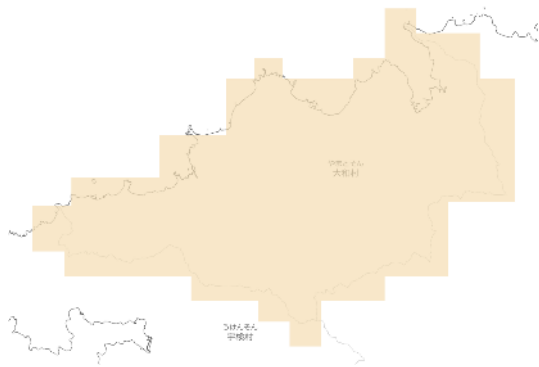
RCP 8.5 2011-2020年



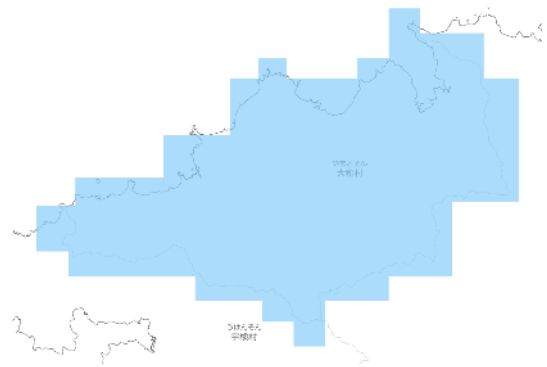
RCP 2.6 2051-2060年



RCP 8.5 2051-2060年

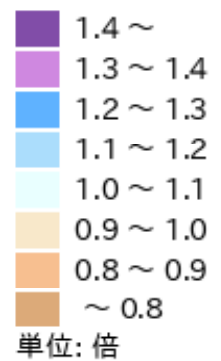


RCP 2.6 2091-2100年



RCP 8.5 2091-2100年

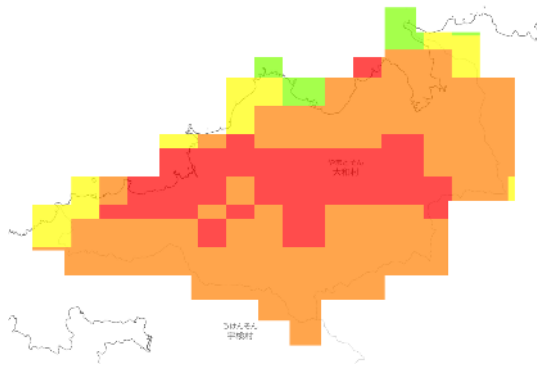
降水量 基準期間との差



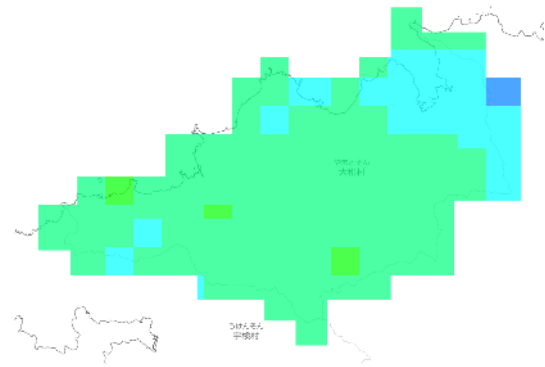
(出典)

以下を基にした A-PLAT WebGISデータ

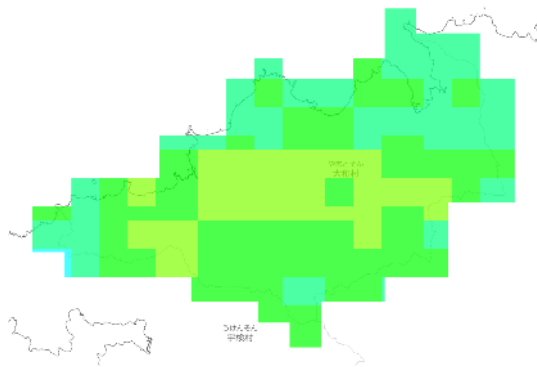
石崎 紀子 (2020). CMIP5 をベースにした CDFDM 手法による日本域バイアス補正気候シナリオデータ, Ver.201909, 国立環境研究所 地球環境研究センター, doi:10.17595/20200415.001.



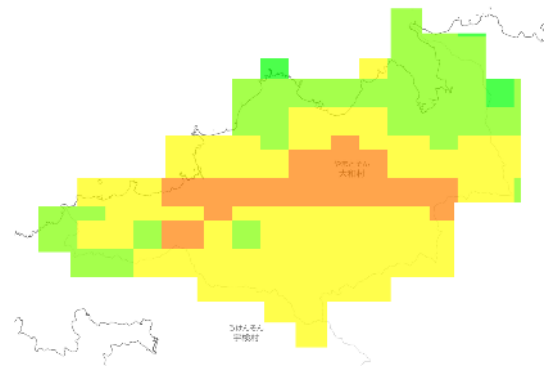
RCP 2.6 2011-2020年



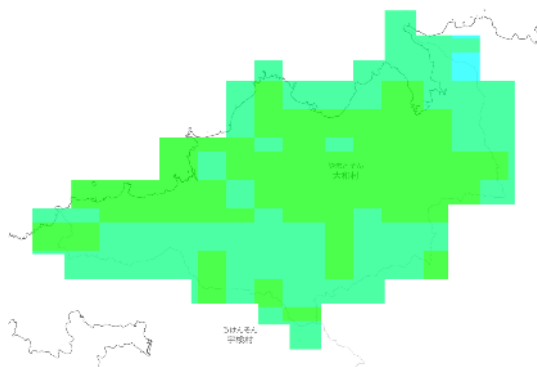
RCP 8.5 2011-2020年



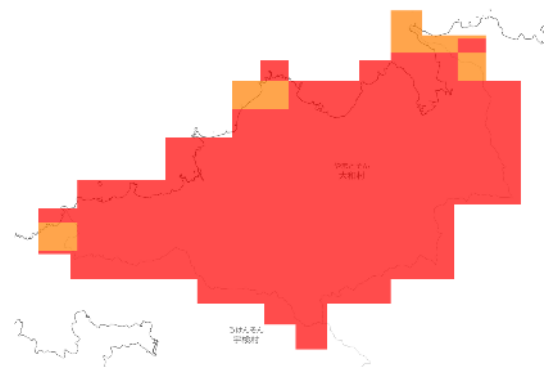
RCP 2.6 2051-2060年



RCP 8.5 2051-2060年

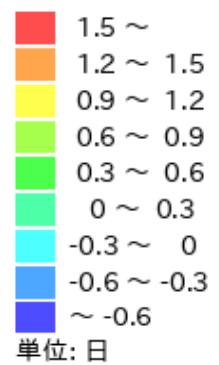


RCP 2.6 2091-2100年



RCP 8.5 2091-2100年

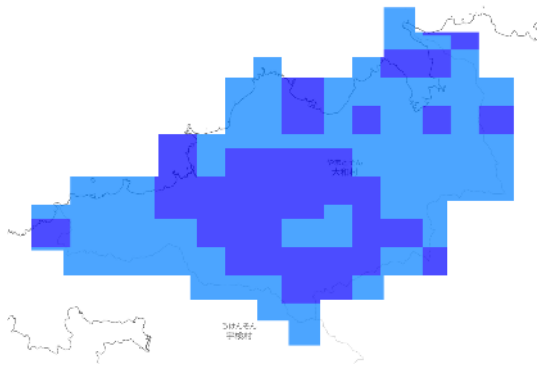
日降水量100mm以上の日数 基準期間との差



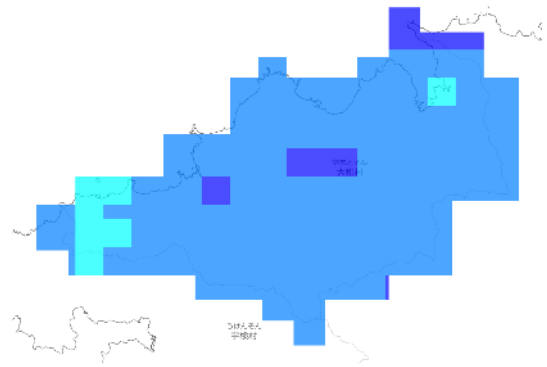
(出典)

以下を基にした A-PLAT WebGISデータ

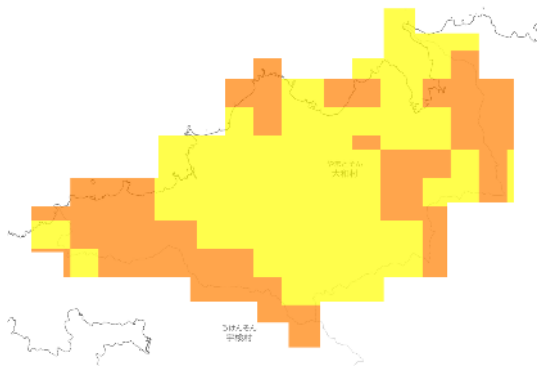
石崎 紀子 (2020). CMIP5 をベースにした CDFDM 手法による日本域バイアス補正気候シナリオデータ, Ver.201909, 国立環境研究所 地球環境研究センター, doi:10.17595/20200415.001.



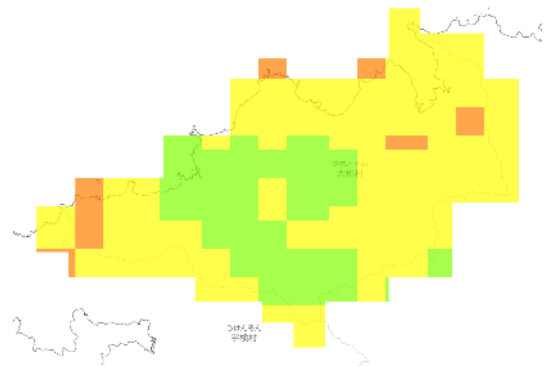
RCP 2.6 2011-2020年



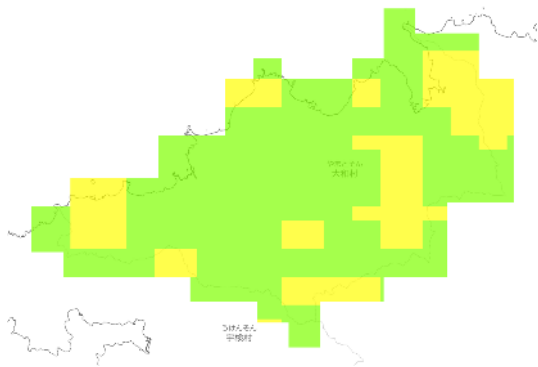
RCP 8.5 2011-2020年



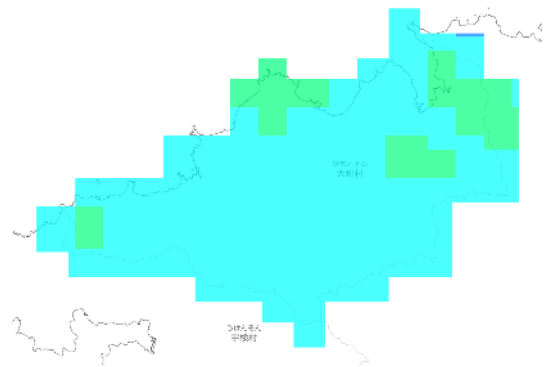
RCP 2.6 2051-2060年



RCP 8.5 2051-2060年



RCP 2.6 2091-2100年



RCP 8.5 2091-2100年

無降水日数 基準期間との差

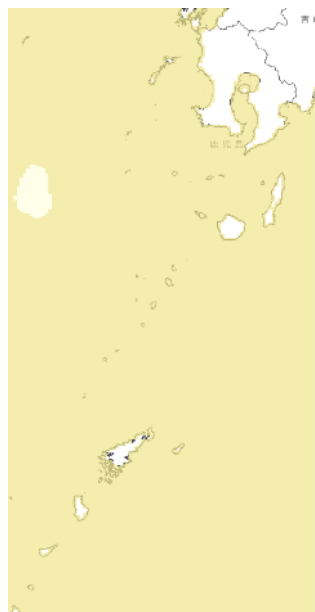


(出典)

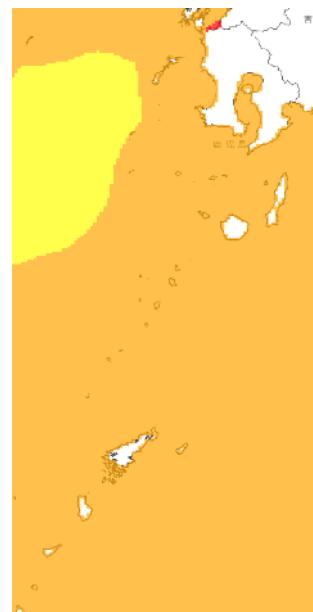
以下を基にした A-PLAT WebGISデータ

石崎 紀子 (2020). CMIP5 をベースにした CDFDM 手法による日本域バイアス補正気候シナリオデータ, Ver.201909, 国立環境研究所 地球環境研究センター, doi:10.17595/20200415.001.

水産業



RCP 2.6 21世紀末



RCP 8.5 21世紀末

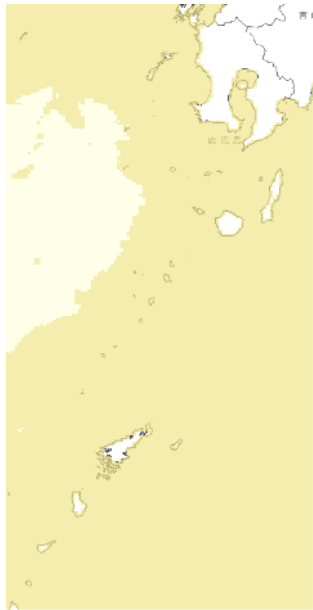
海面水温（年平均）基準期間との差



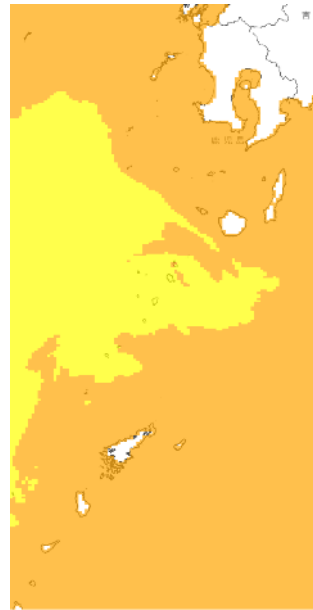
海面水温（年平均）基準期間との差 凡例

(出典)

Nishikawa et al. (2021), Development of high-resolution future ocean regional projection datasets for coastal applications in Japan. Progress in Earth and Planetary Science, 8:7, <https://doi.org/10.1186/s40645-020-00399-z>



RCP 2.6 21世紀末



RCP 8.5 21世紀末

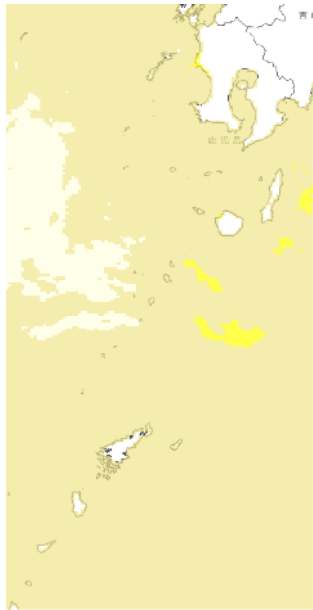
海面水温（年最高）基準期間との差



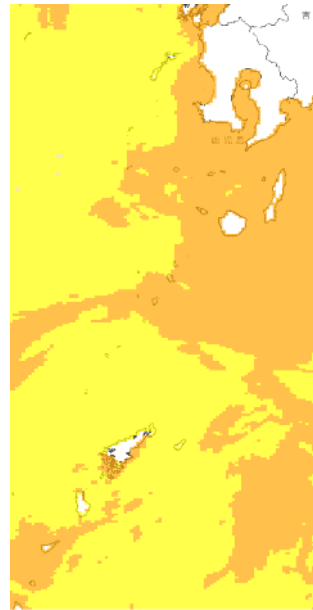
海面水温（年最高）基準期間との差 凡例

(出典)

Nishikawa et al. (2021), Development of high-resolution future ocean regional projection datasets for coastal applications in Japan. Progress in Earth and Planetary Science, 8:7, <https://doi.org/10.1186/s40645-020-00399-z>



RCP 2.6 21世紀末



RCP 8.5 21世紀末

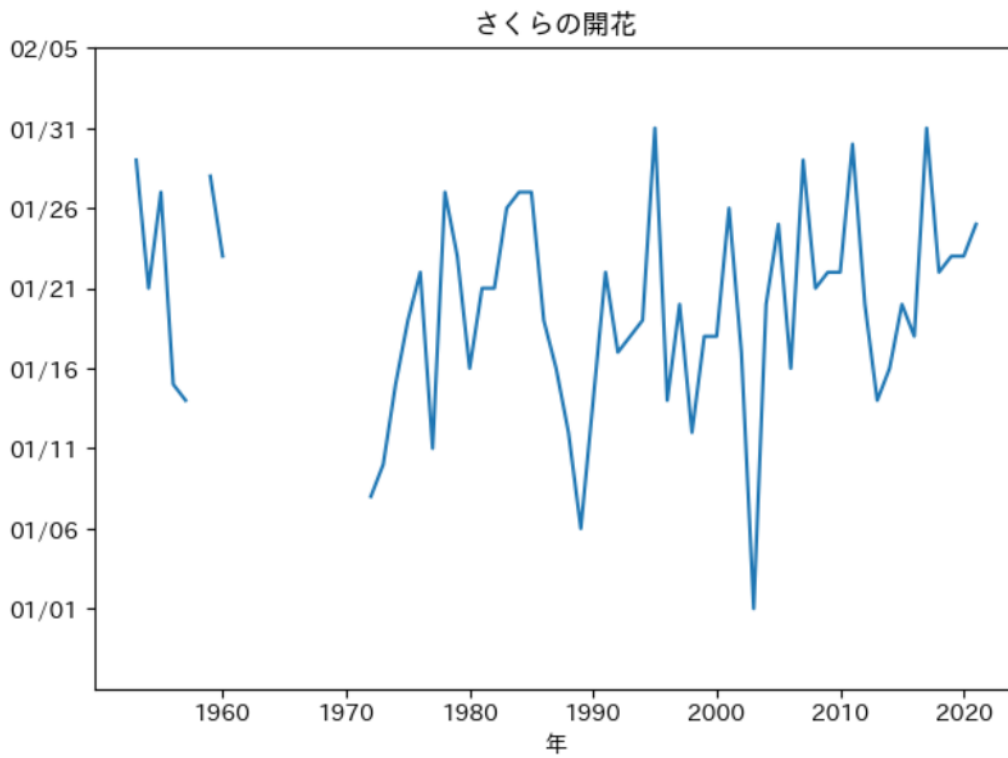
海面水温（年最低）基準期間との差



海面水温（年最低）基準期間との差 凡例

(出典)

Nishikawa et al. (2021), Development of high-resolution future ocean regional projection datasets for coastal applications in Japan. Progress in Earth and Planetary Science, 8:7, <https://doi.org/10.1186/s40645-020-00399-z>



さくらの開花 (名瀬)

(備考)

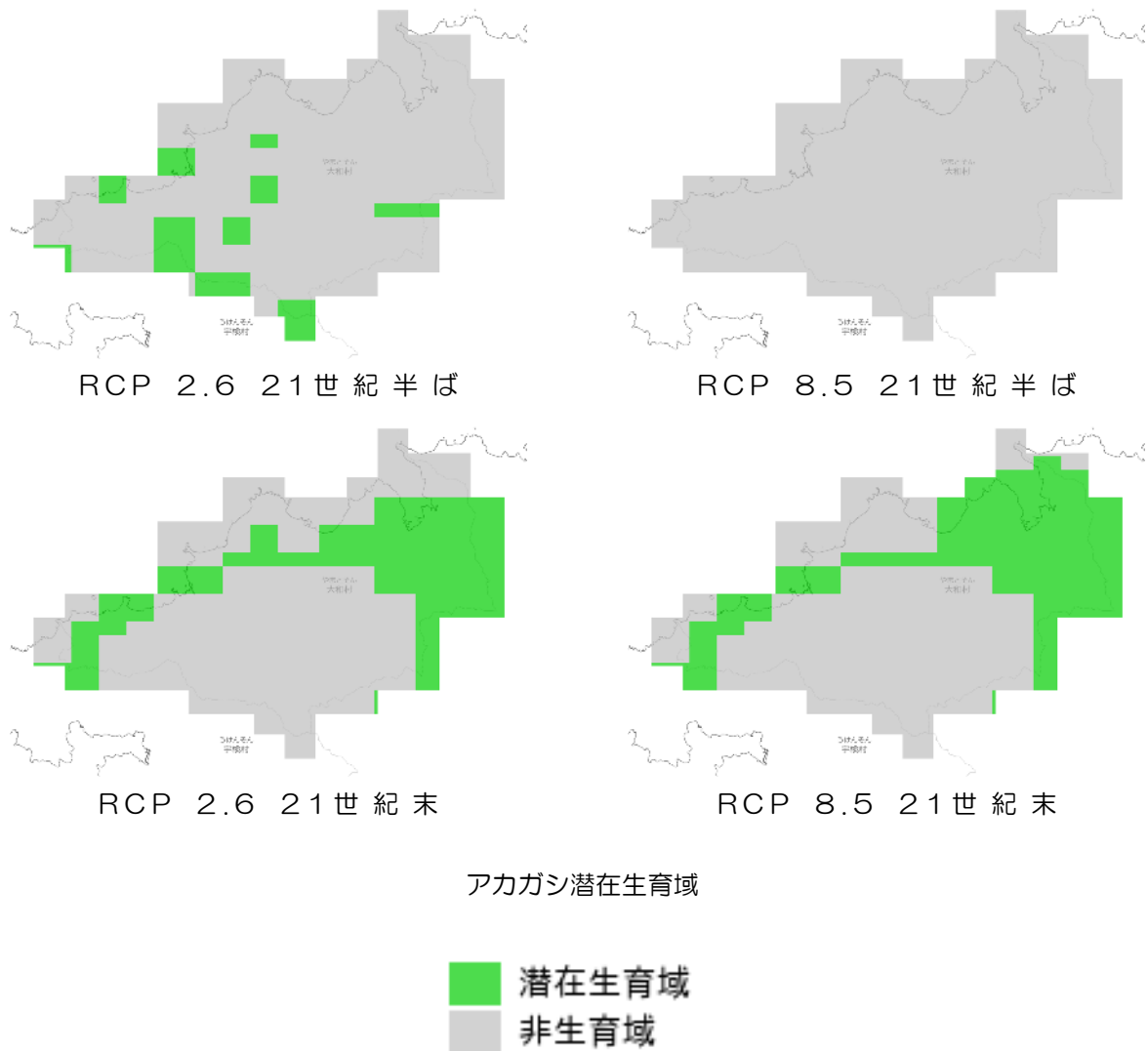
事象が観測されなかった等の理由でグラフが途切れることがあります。

(出典)

<https://www.data.jma.go.jp/sakura/data/index.html>

1.1.2 将来の影響

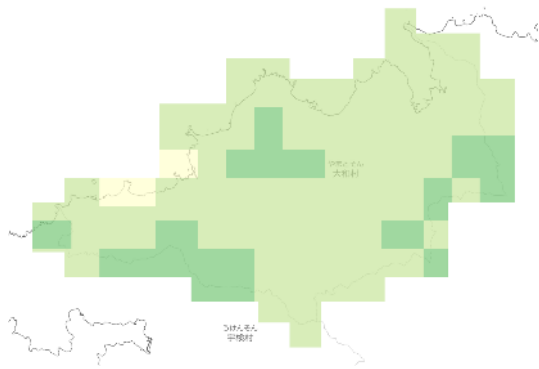
(19) 陸域生態系



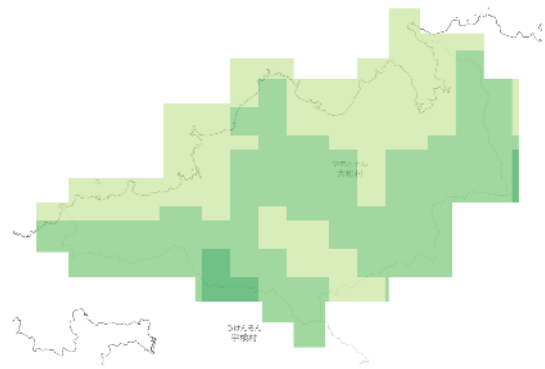
アカガシ潜在生育域 凡例

(出典)

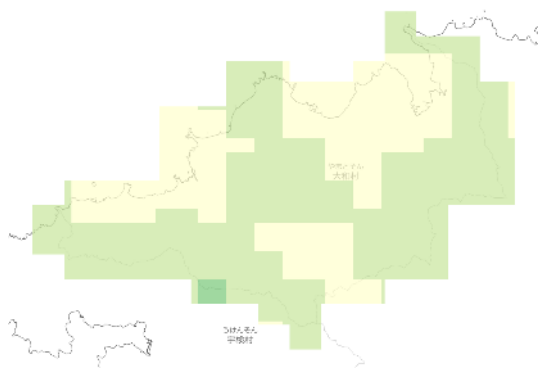
<https://adaptation-platform.nies.go.jp/conso/report/O-6.html>



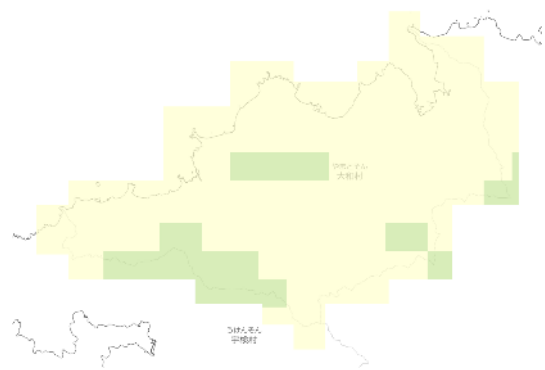
RCP 2.6 21世紀半ば



RCP 8.5 21世紀半ば

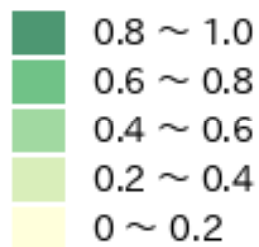


RCP 2.6 21世紀末



RCP 8.5 21世紀末

竹林の分布可能域

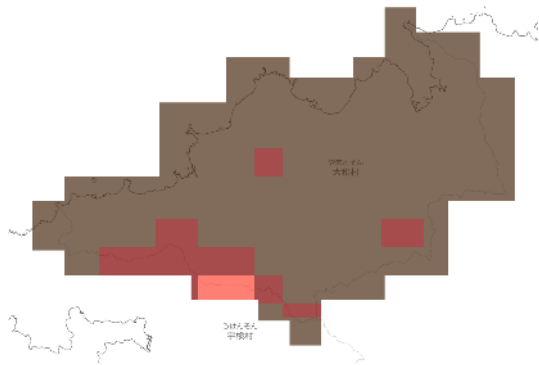


単位: 確率

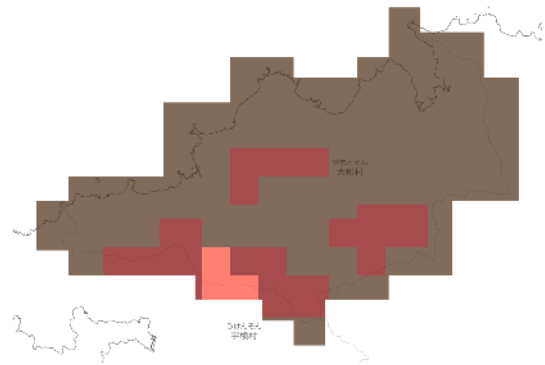
竹林 凡例

(出典)

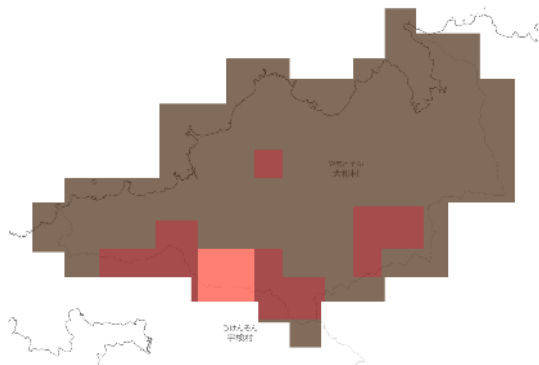
<https://adaptation-platform.nies.go.jp/conso/report/O-6.html>



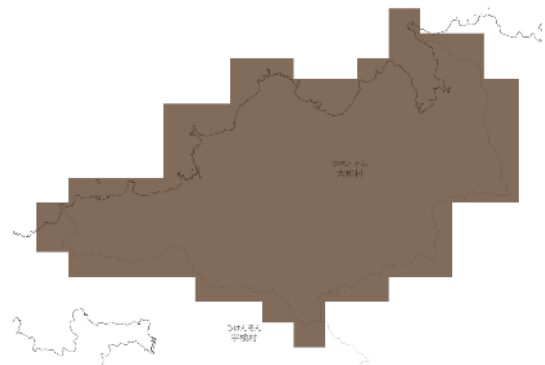
RCP 2.6 21世紀半ば



RCP 8.5 21世紀半ば



RCP 2.6 21世紀末



RCP 8.5 21世紀末

マツ枯れ危険度



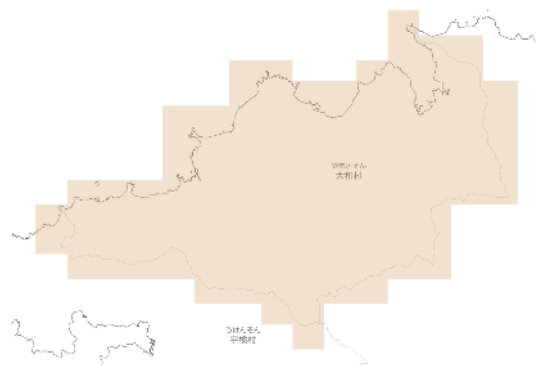
マツ枯れ危険度 凡例

(出典)

<https://adaptation-platform.nies.go.jp/conso/report/O-6.html>



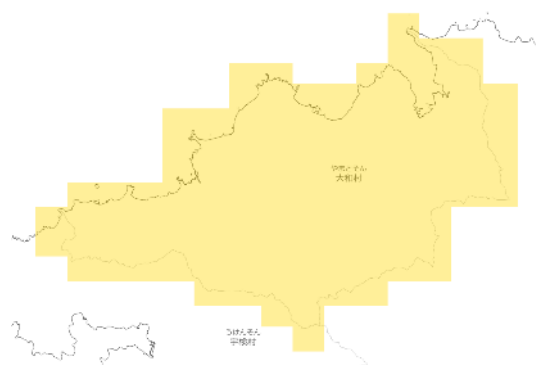
RCP 2.6 21世紀半ば



RCP 8.5 21世紀半ば

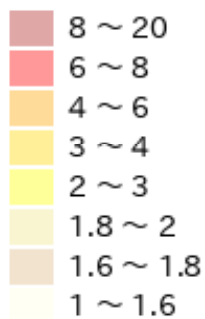


RCP 2.6 21世紀末



RCP 8.5 21世紀末

熱中症搬送者数

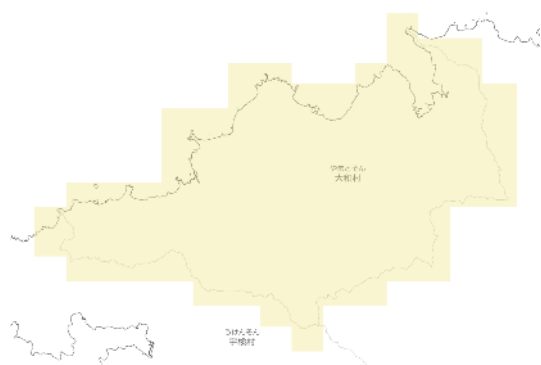


単位: 倍

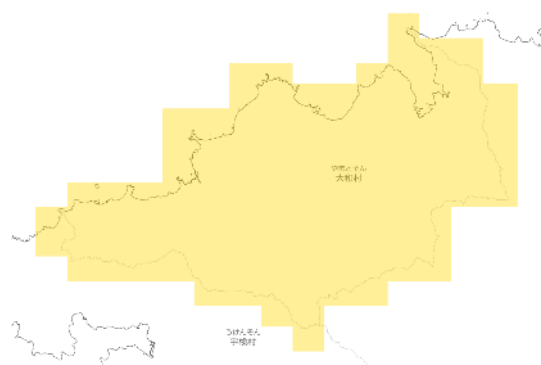
熱中症搬送者数 凡例

(出典)

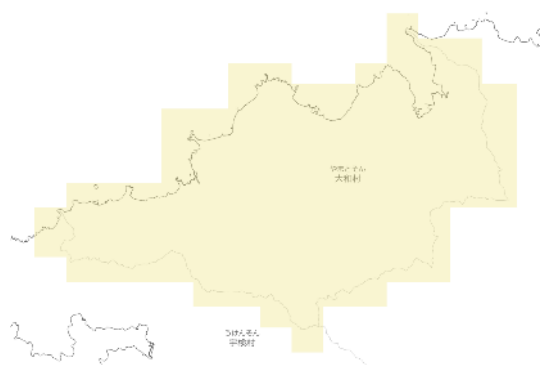
https://www.nies.go.jp/s8_project/symposium/20141110_s8br.pdf#page=12



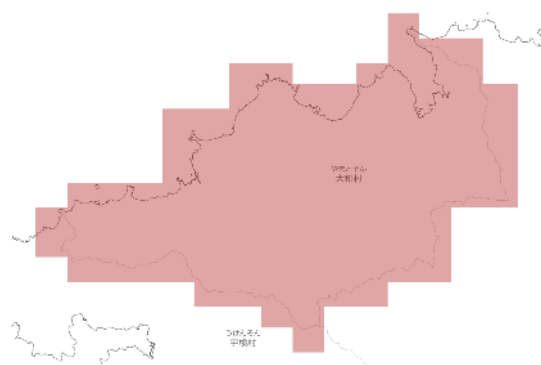
RCP 2.6 21世紀半ば



RCP 8.5 21世紀半ば



RCP 2.6 21世紀末



RCP 8.5 21世紀末

熱ストレス超過死亡数



単位: 倍

熱ストレス超過死亡数 凡例

(出典)

https://www.nies.go.jp/s8_project/symposium/20141110_s8br.pdf#page=12